

## **Optoelektronische Messtechnik**

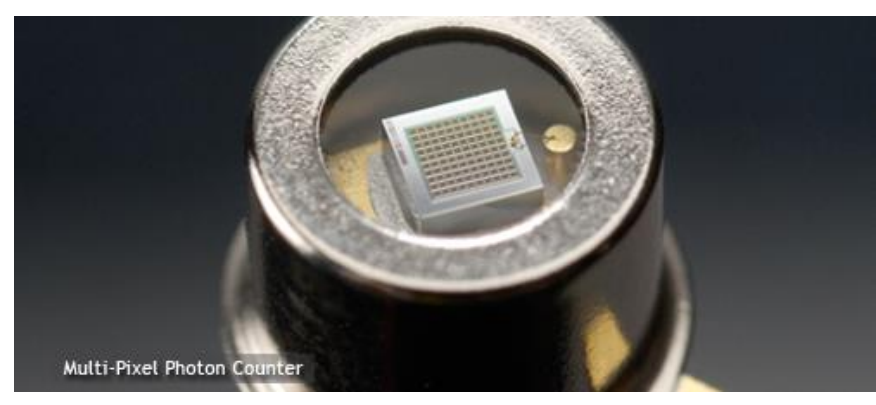
Vorlesung | Nr. 7 Innerer PE | Dioden | Photoleiter

LTI | Lichttechnisches Institut



#### Quantendetektoren





www.hamamatsu.de

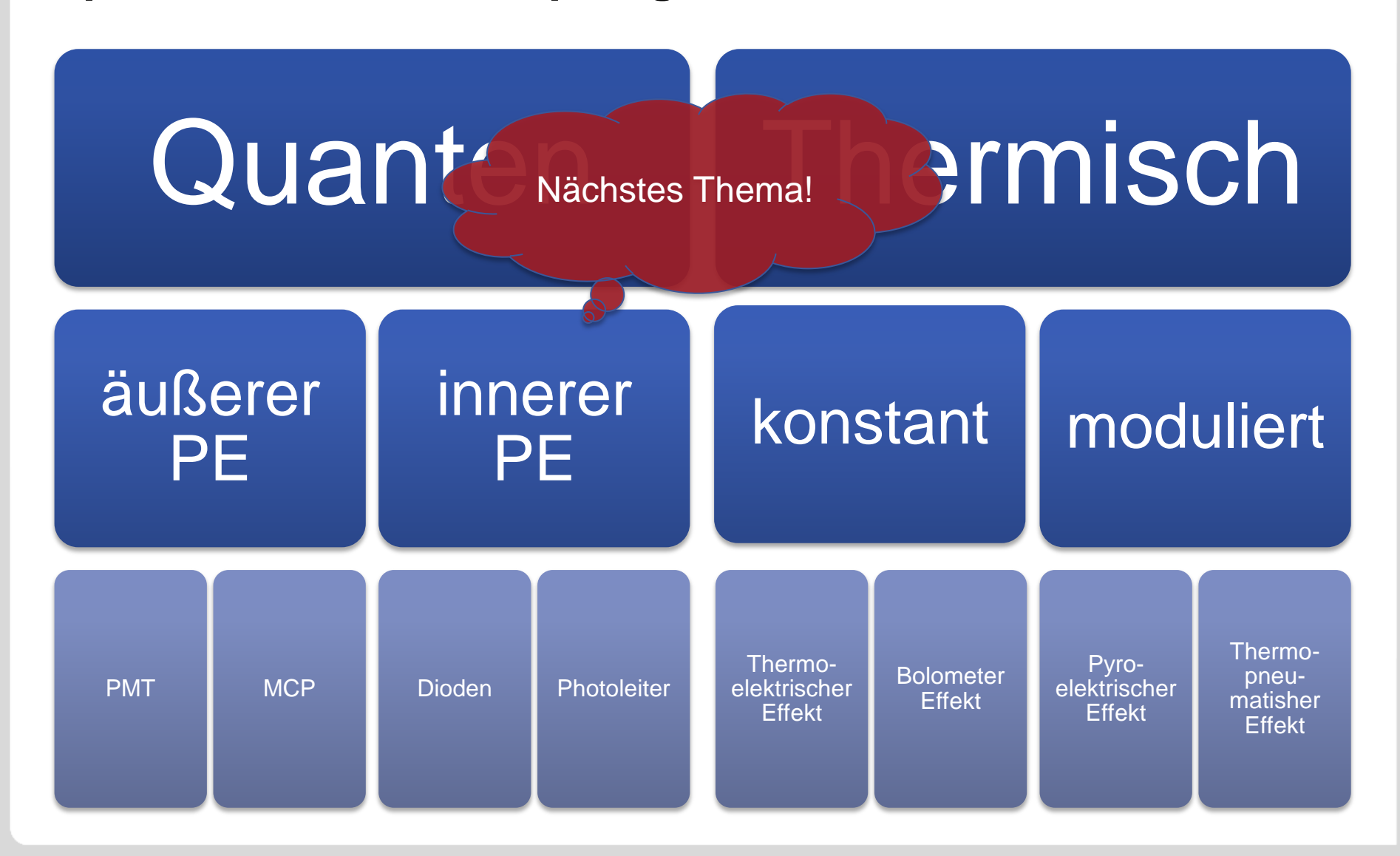


www.hamamatsu.de

- Photonen generieren Elektronen und / oder Löcher
- Photosignal proportional der Photonenrate
- Beispiele
  - Photomultiplier Tube (PMT)
  - Dioden
  - Phototransistor
  - Solarzelle
- allgemeine Eigenschaften
  - schnell 🕯
  - empfindlich &
  - Spektral selektiv <?</p>
  - Temperatursensitiv

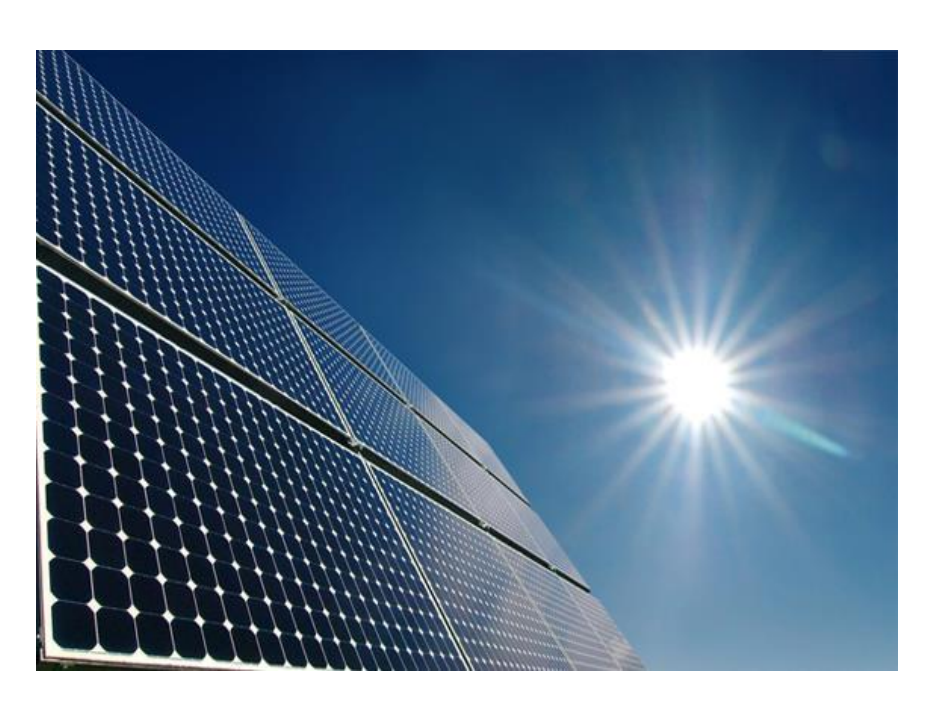
## optoelektronische Empfänger





#### Innerer Photoeffekt

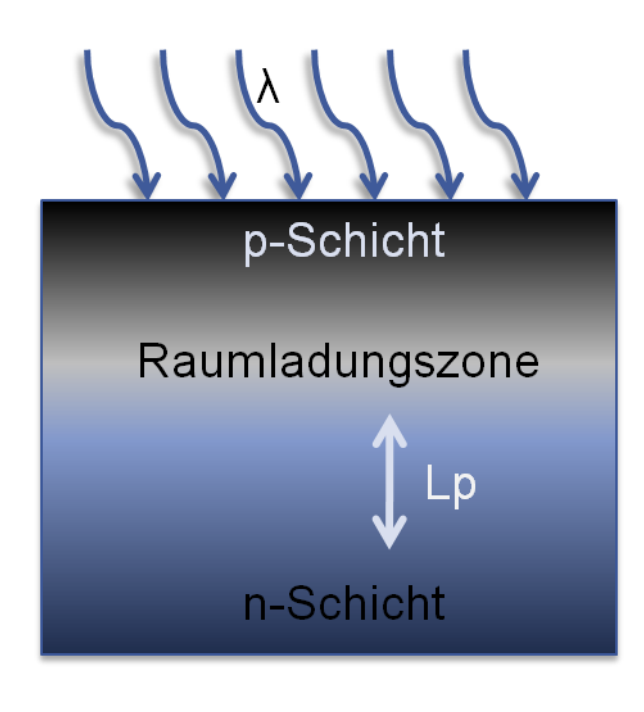




- Einfallende Strahlung wird im HL absorbiert und generiert Elektron-Lochpaare
- Inneres Feld über p-n Sperrschicht oder Metall-HL-Übergang trennt Elektronen und Löcher räumlich
- Ladungsträgertrennung
  - => elektrisches Feld
  - => Photostrom oder spannung
- Anwendung
  - Empfänger
  - Solarzelle

### Photostrom in pn-Diode





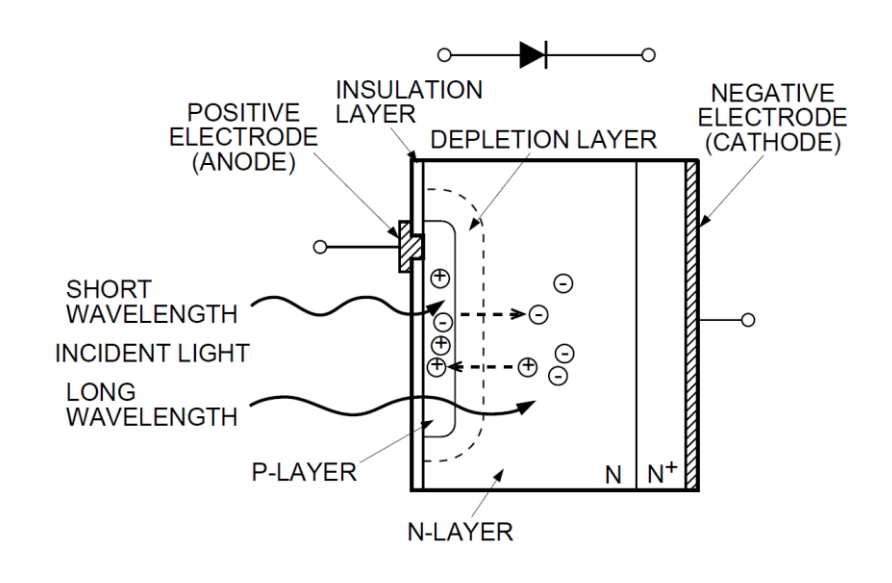
$$I_{ph} = I_{ph,drift} + I_{ph,diff}$$

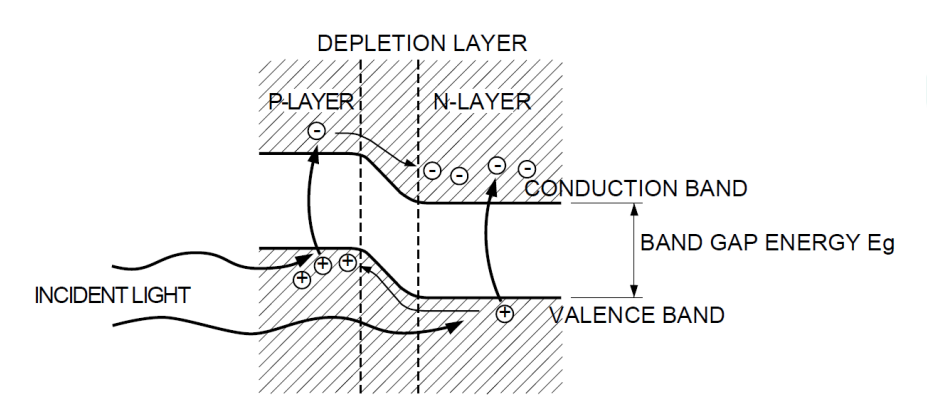
- Feld
  - p- und n- Gebiete quasineutral > Feld frei
  - Ladungsträger in RLZ getrennt
  - RLZ trägt Strom
- in der RLZ optisch generierten Träger liefern den Hauptbeitrag, den Driftphotostrom I<sub>ph.drift</sub>
- die in den Neutralgebieten erzeugten Träger müssen erst in die RLZ diffundieren, um als Diffusionsphotostrom I<sub>ph,diff</sub> zum gesamten Photostrom beizutragen
- die Diffusionslängen sollten daher hinreichend groß sein, vergleichbar groß wie der reziproke Absorptionskoeffizient
- die RLZ sollte breit und oberflächennah sein – dünne P-Schicht!

5

#### **Aufbau einer Diode**





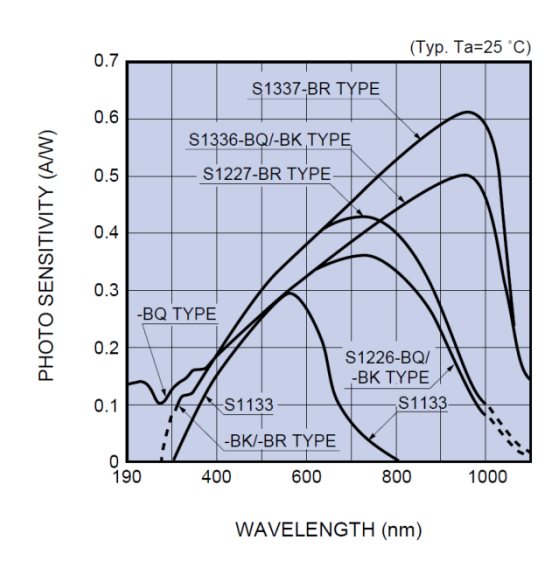


- Das Feld der RLZ treibt die durch Einstrahlung generierten Elektronen als Überschussminoritätsträger von der p- auf die n-Seite und die Löcher von der n-Seite auf die p-Seite.
- Im Außenkreis fließt ohne äußere Spannung U<sub>0</sub> ein Photostrom in Sperrrichtung.
- Im Leerlauf lädt sich die n-Seite negativ, die p-Seite positiv auf. Die Barriere erniedrigt sich von eU<sub>D</sub> auf e(U<sub>D</sub> - U<sub>OL</sub>); U<sub>OL</sub> Leerlaufspannung bei Einstrahlung.

17.06.2016

## spektrale Empfindlichkeit





$$s = \frac{I_{KL}}{\Phi_0} = \frac{e(1-\rho)\eta(\lambda)\lambda}{h \cdot c} (1 - \frac{e^{-a \cdot W_S}}{1 + a \cdot L_p})$$

- Sie nimmt zu kürzeren Wellenlängen mit der (überschüssigen) Photonenenergie ab.
- Auch deshalb, weil die Träger bei Einstrahlung von kleinen Wellenlängen näher der Oberfläche generiert werden, wo sie verstärkt rekombinieren.
- Strahlung langer Wellenlängen dringt tiefer ein, kurzwelligere wird oberflächennah absorbiert
- Für die UV-Detektion flache p-n-Übergänge
  - lonenimplantation
- Abnahme der Empfindlichkeit nach Maximum ist im Wesentlichen durch die Grenzenergie bestimmt.

## optoelektronische Empfänger



## Quanten

# Thermisch

äußerer PE

inneror

Dioden in der Anwendung.

stant

moduliert

**PMT** 

**MCP** 

Dioden

Photoleiter

Thermoelektrischer Effekt

Bolometer Effekt Pyroelektrischer Effekt Thermopneumatisher Effekt

#### **Photodioden**

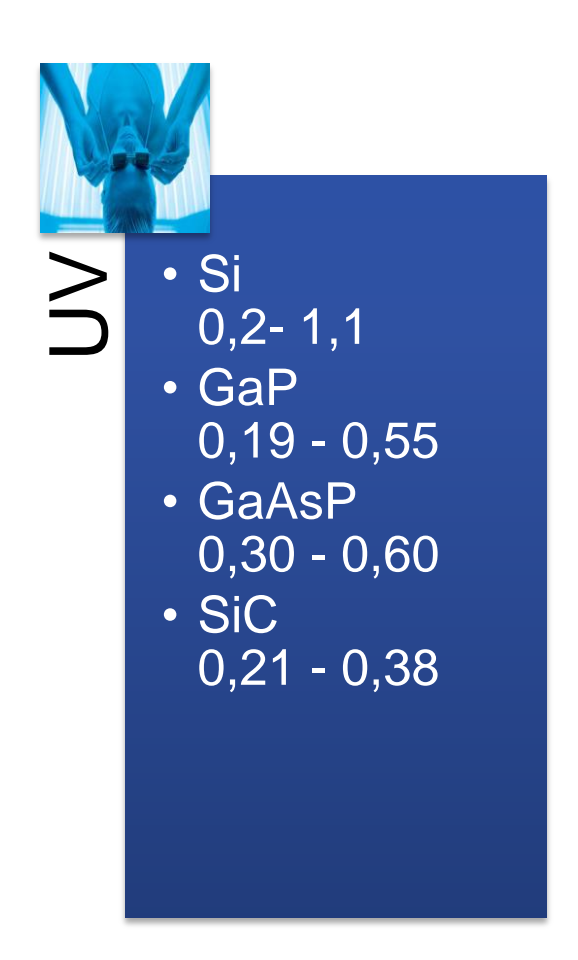


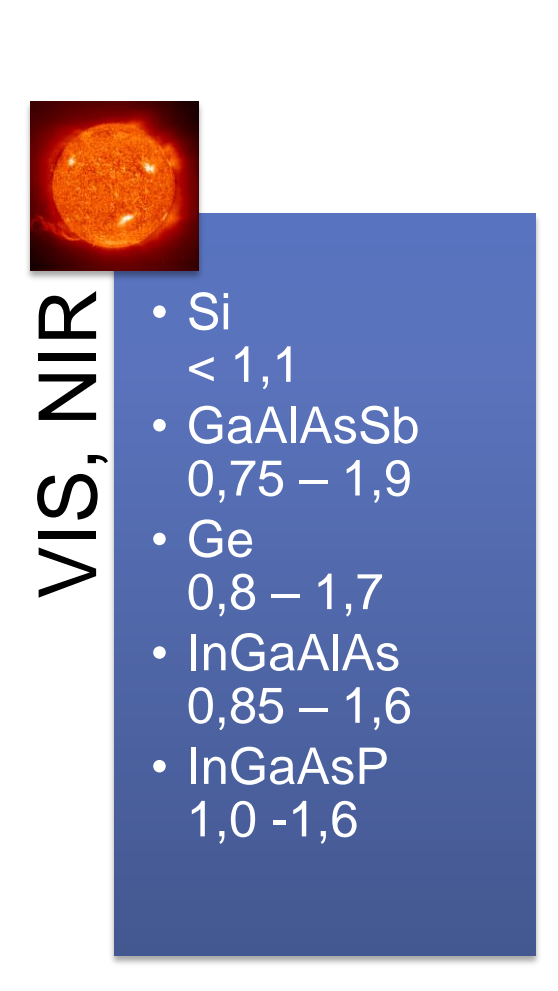


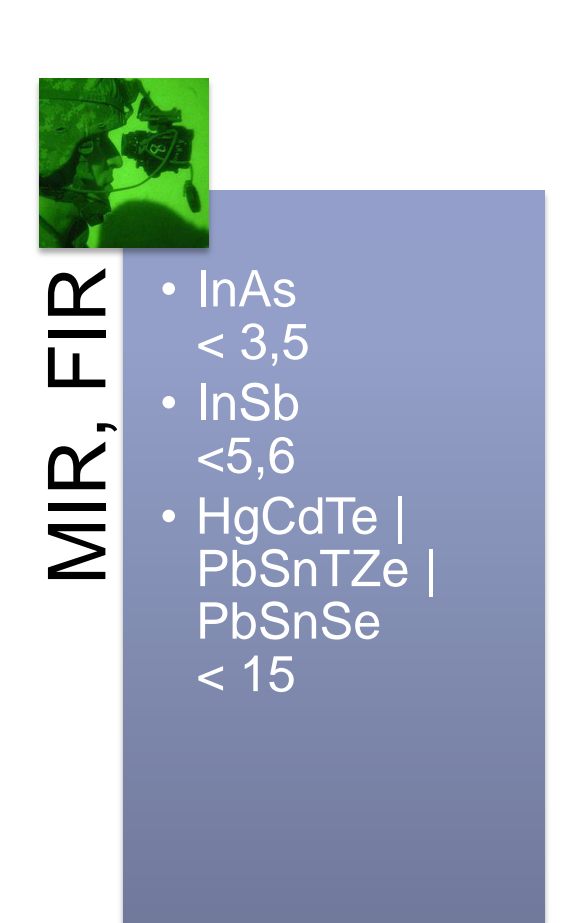
- Unterscheidung nach
  - **HL-Material** 
    - Spektrale Empfindlichkeit
  - Größe
    - Elektrische Eigenschaften
    - Absolute Empfindlichkeit / Grenzfrequenz
  - Gehäuse
    - mechanische & thermische Beanspruchung
  - Aufbau | interne Filter | Optiken

#### Materialien von Photodioden





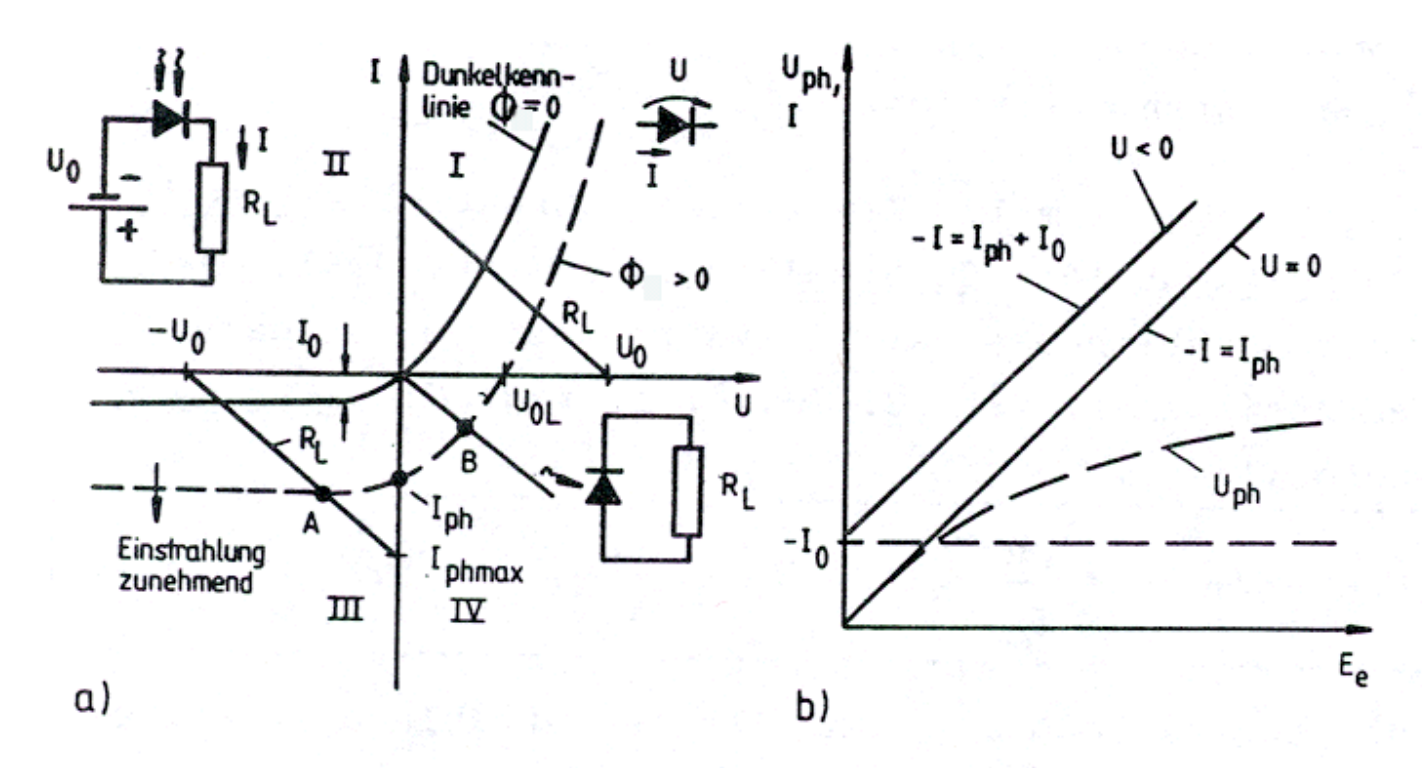




Alle Wellenlängenangaben in µm

#### **Dioden Kennlinie**





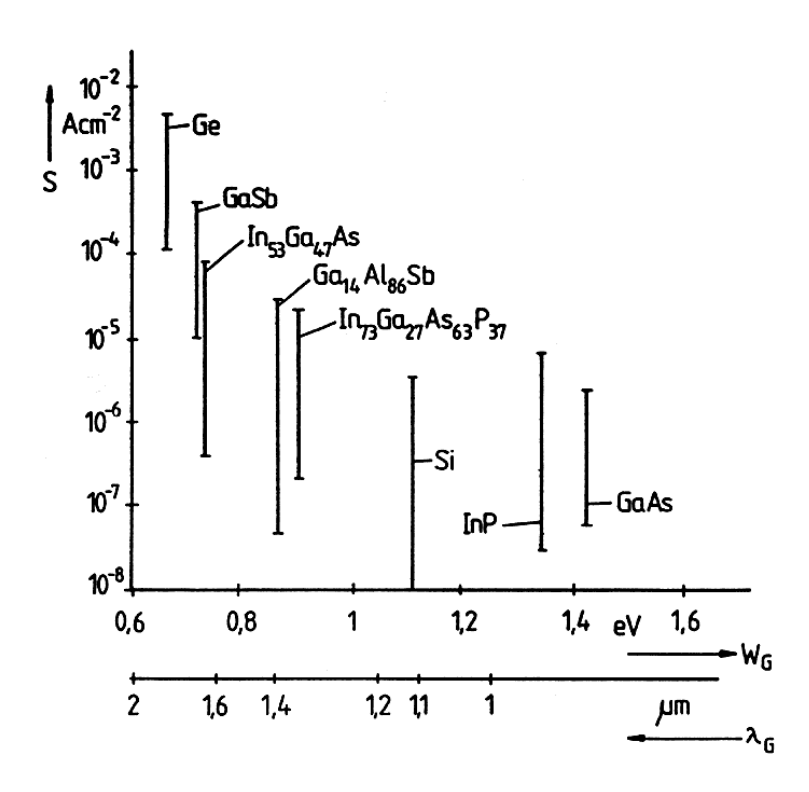
 IV: Kurzschluss- und Leerlauf-betrieb (Photozelle) und III: Sperrbetrieb (Photodiode) eines bestrahlten p-n-Übergangs

Kurzschluß-Photostrom wächst linear mit der Bestrahlungsstärke, Leerlauf-Photospannung logarithmisch mit der Bestrahlungsstärke

17.06.2016

#### **Dunkelstrom**



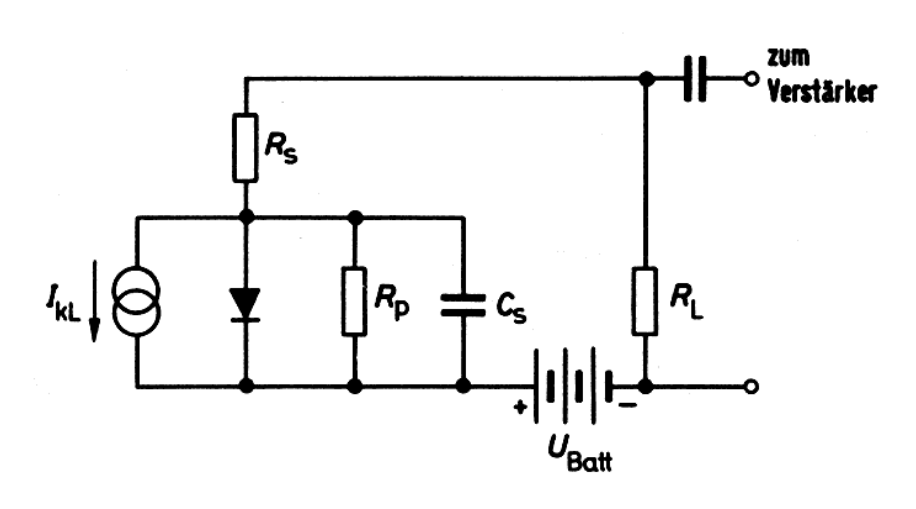


Dunkelstromdichten von p-n-Übergängen bei T = 300 K

- Dunkelstrom = i.W. thermischer Sperrsättigungsstrom
- Sperrsättigungsstrom proportional exp(-E<sub>G</sub>/kT)
- Weitere
  - Tunnelströme durch die Sperrschicht
  - Leck-Ströme auf der Oberfläche

## Zeitkonstante einer pn-Diode



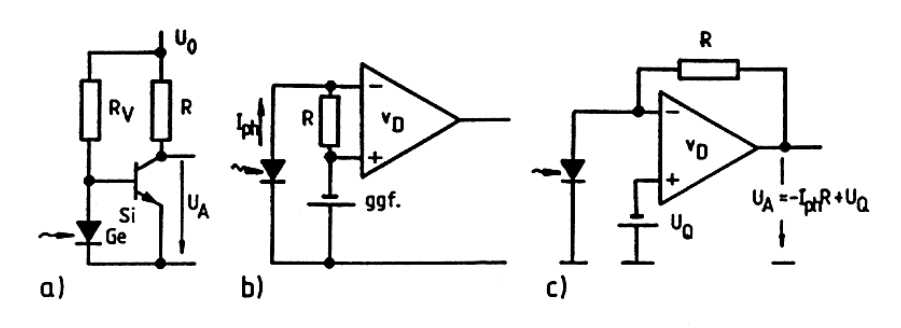


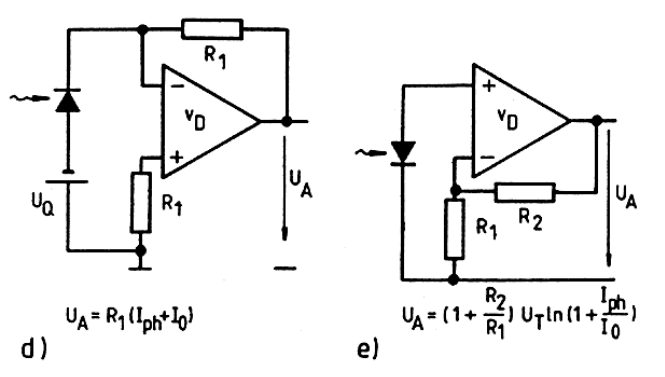
$$f_3 = \frac{1}{2\pi\tau_3} = \frac{1}{2\pi C_S [R_s + R_L(1 + R_s / R_p)]}$$

- Dominate Grenz Frequenz f = Umladezeit τ<sub>3</sub> der Sperrschichtkapazität C<sub>S</sub>
  - $C_S = 1 10 pF$
  - $R_L = 50 100 Ω$
  - $\tau_3 = 50 \text{ ps} 1 \text{ ns}$
- Der kleine Serienwiderstand R<sub>s</sub> der Bahn und Kontaktierung ist ebenso wie der sehr große Parallelwiderstand R<sub>p</sub> (Innenwiderstand) hier i.d.R. vernachlässigbar.
- Insgesamt zeigt bei modulierter Einstrahlung die Photodiode Tiefpassverhalten mit der Zeitkonstanten
- Sie ist im Vergleich zum Photoleiter erheblich schneller.

## **Beschaltung von Photodioden**







- a) Photoschaltverstärker: Bei Unterschreitung einer gewissen Bestrahlungsstärke schaltet Transistor durch.
- b) Photodiode wirkt mit kleinem Lastwiderstand R<sub>L</sub> << R<sub>p</sub> als Stromgenerator, Spannungsabfall über kleinem Lastwiderstand wird verstärkt bzw.
- c) Strom-Spannungswandlung mit arbeitspunktunabhängigem Transimpedanzverstärker (Quasikurzschluss!)
- d) dto, aber mit Vorspannung und folglich Dunkelstrom I<sub>0</sub>.
- e) Photodiode wirkt mit großem Lastwiderstand R<sub>L</sub> >> R<sub>p</sub> als Spannungsgenerator, realisiert mit Elektrometerverstärker logarithmisches Verhalten.

## **Stoßionisierung APD**



Elektron (Loch) eines bei a (b) erzeugten Elektron-Lochpaares wird beschleunigt und erzeugt bei der Bewegung in der Feldzone in Richtung vom p- ins n-Gebiet (vom n-Gebiet ins p-Gebiet) durch Stoßionisation neue Elektron-Lochpaare.

Zunahme der Elektronen

Zunahme der Löcher

Ionisierungskoeffizient für Elektronen bzw. für Löcher, abhängig vom Material und der Feldstärke F

Generationsrate durch Stoßionisierung zusätzlich in Kontinuitätsgleichung zu berücksichtigen

$$dn = \alpha_n \cdot n \cdot dx$$

$$dp = \alpha_{p} \cdot p \cdot dx$$

$$\alpha_n = \alpha_{n,\infty} e^{-F_n/F}$$

$$\alpha_{\tt p} = \alpha_{\tt p,\infty} e^{-F_{\tt p}/F}$$

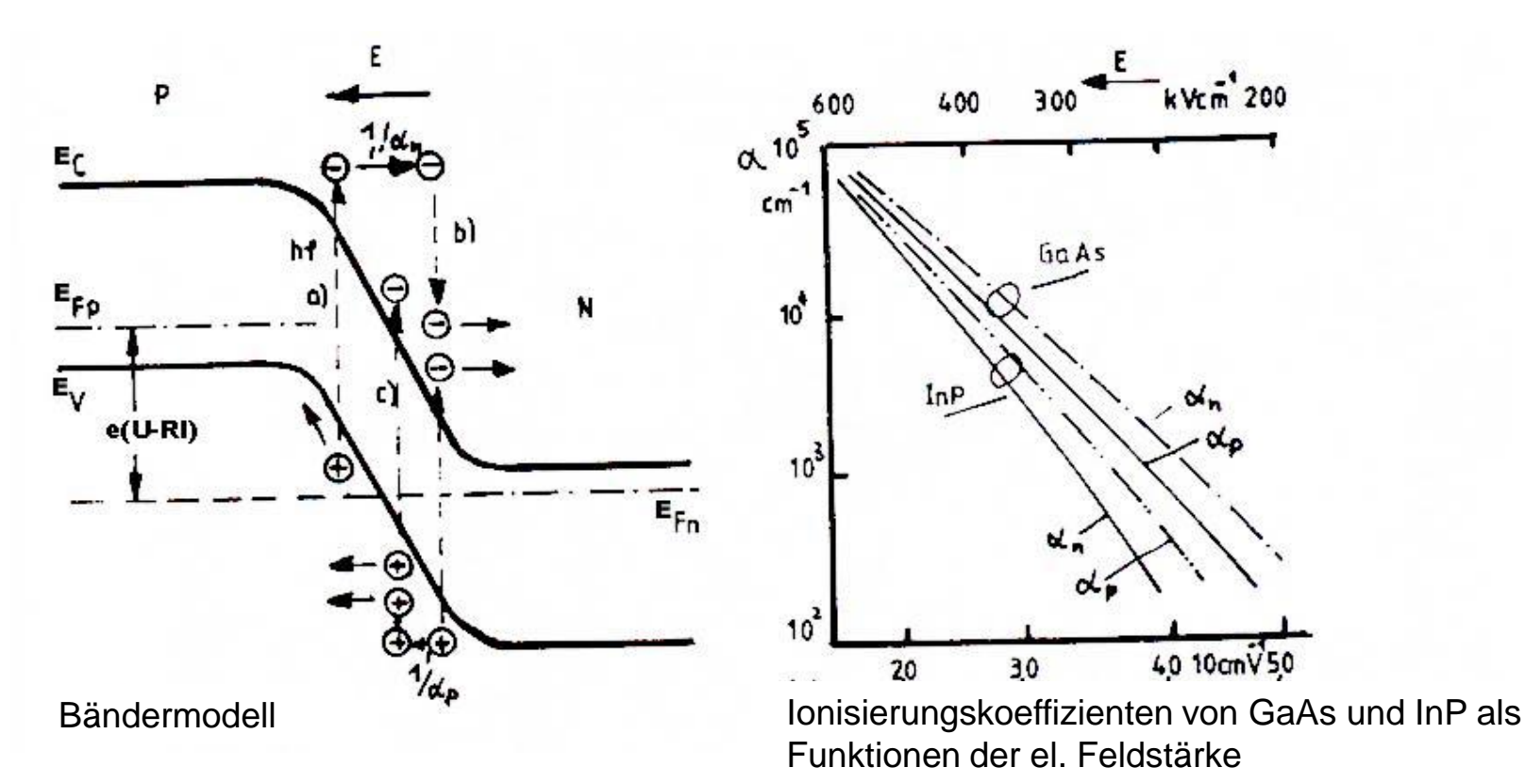
$$G(x) = \alpha_n n(x) \cdot v_n + \alpha_p p(x) \cdot v_p$$

$$(-)\frac{1}{e}\frac{dj_{n(p)}}{dx} + G(x) + g(x) = 0$$

17.06.2016

## Interne Lawinenverstärkung - APD



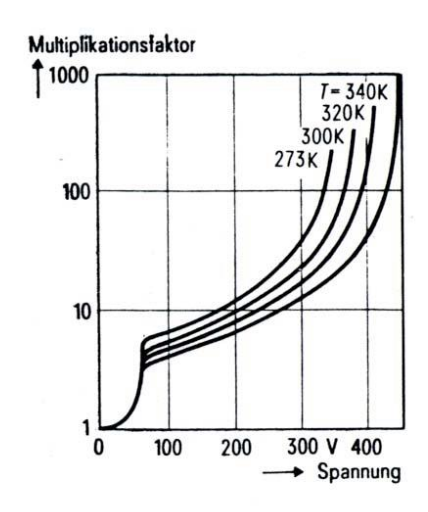


Lawinen-Photodiode – Photodiode auf Homo- oder Hetero-pn, -pin, p+p-n, - MS-Basis, bei der durch Lawinenvervielfachung in der Sperrschicht <u>hoher</u> Feldstärke (10 $^5$  V/cm) eine innere Verstärkung erfolgt:  $I_{nh} = M \cdot I_{nh} (M=1)$ 

17.06.2016

## Verstärkung der APD





$$M \approx \frac{1}{1 - (1 - \frac{R \cdot I}{U_{Br}})^m} \approx \frac{1}{1 - (1 - m\frac{R \cdot I}{U_{Br}})} = \frac{U_{Br}}{mR \cdot I}$$

$$I = M \cdot I_{ph} \Rightarrow$$

$$M = \sqrt{\frac{U_{Br}}{mR \cdot I_{ph}}}$$

$$I = \sqrt{\frac{U_{Br}}{mR}} I_{ph}$$

Empirischer Ansatz für die innere Verstärkung;  $\alpha_n = \alpha_p$ 

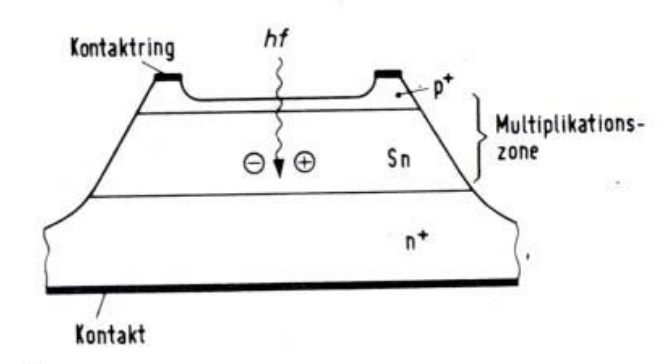
$$M = M_n = M_p = \frac{1}{1 - (\frac{U - R \cdot I}{U_{Br}})^m}$$

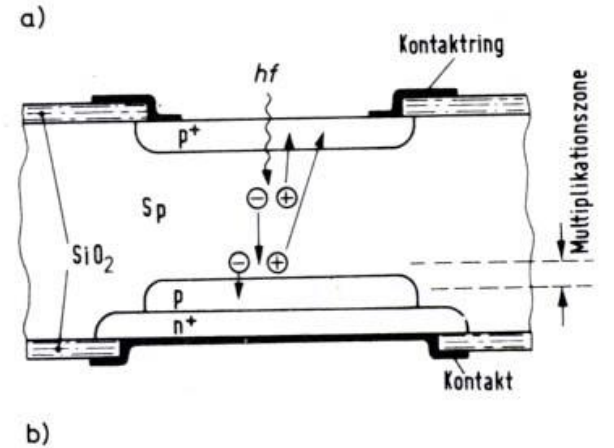
- $U_{Br}$  Durchbruchspannung, m = 1.4 4für Si, 2,5 – 8 für Ge
- Nur für kleine Ströme I, so dass RI << U, und Spannungen U < U<sub>Br</sub> ist der verstärkte Strom  $I = M I_{ph}$  proportional dem Photostrom und somit der Strahlungsleistung – linearer Empfänger.
- Wird  $U \approx U_{Br}$  eingestellt, so wird M umgekehrt proportional I und I ~ I<sub>ph</sub> <sup>1/2</sup>, die APD also nichtlinear:

17

#### Aufbau der APD



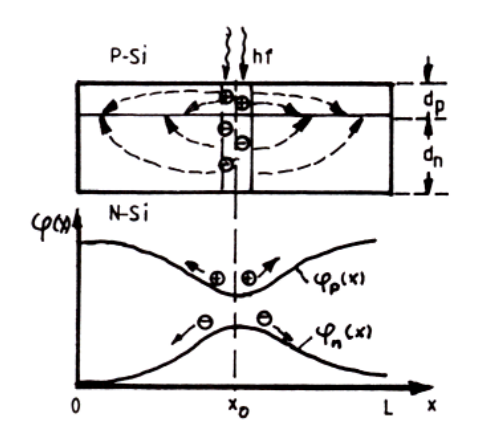


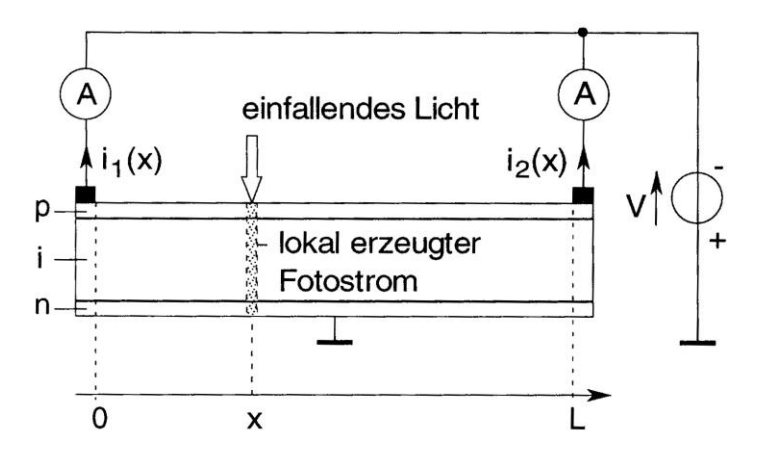


- Lawinendioden mit ähnlicher Struktur wie PIN-Dioden mit breiter schwach dotierter Zone, nahe der Durchbruchspannung betrieben.
  - a) Mesastruktur: Zur Vermeidung von Randdurchbrüchen wird ein Guard (Schutz)ring in Kontakt mit einer hoch dotierten Zone gebracht
  - b) Planare p+sppn+ Struktur
- Kleine aktive Flächen mit 50 700 μm Durchmesser
- Materialien: Si bis 0,85 μm, III-V Halbleiter für den 1,3 1,55 μm Bereich
- Einsatz vor allem in der optischen Nachrichtentechnik
  - Schnell
  - verstärkend
  - leider nicht sonderlich linear

## Positionsempfindliche Dioden







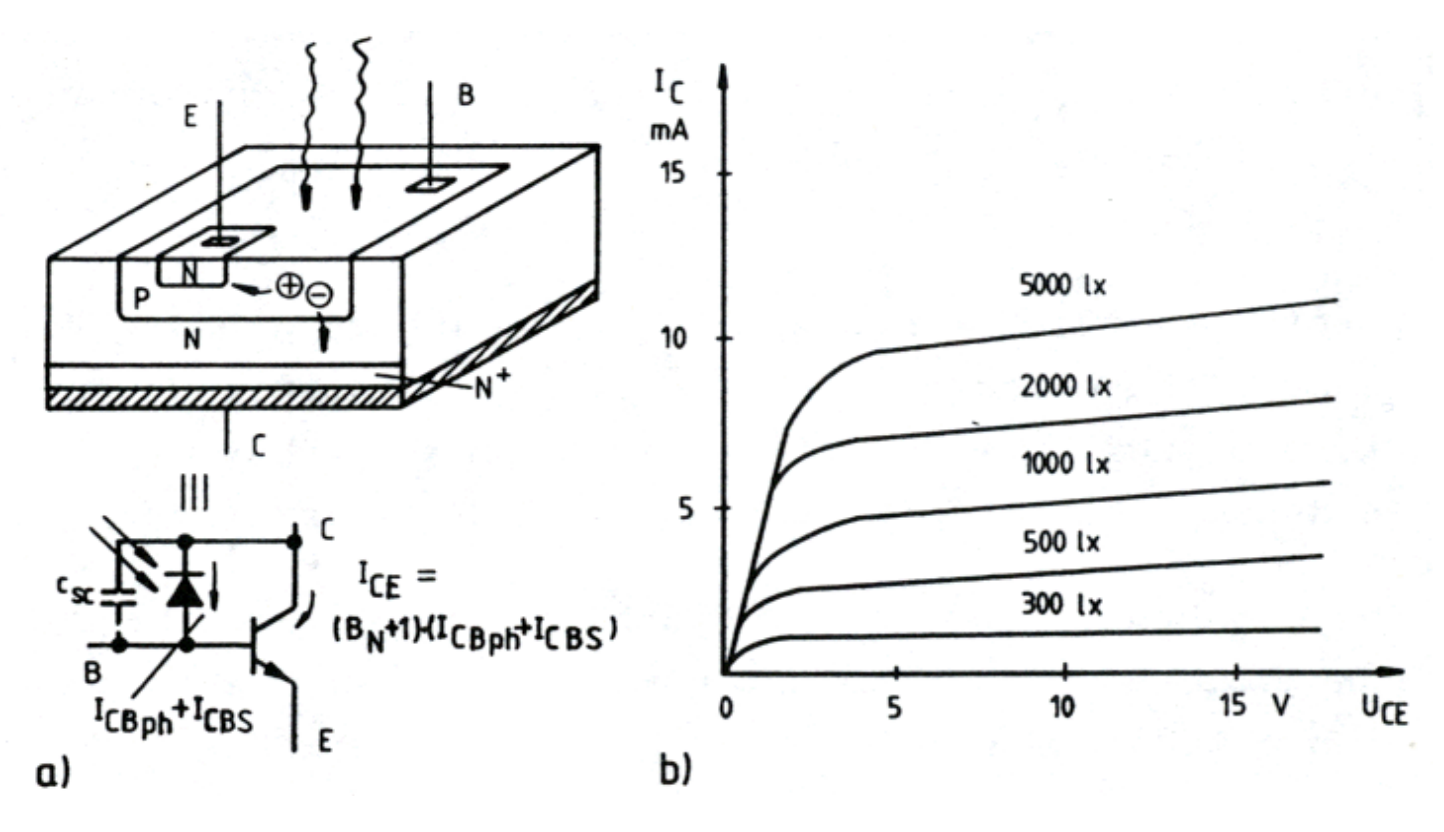
- Durch scharf gebündelten Lichtstrahl bei x erzeugter Photostrom i<sub>hv</sub> teilt sich in einen Strom i<sub>1</sub>(x) und i<sub>2</sub>(x) auf, abgenommen an den Orten x=0 bzw. x=L; diese Ströme fließen über das p-Gebiet mit spezif. Widerstand R'.
- Es gilt:  $R' \cdot x \cdot i_1 = R'(L-x)i_2 \Rightarrow$

$$x = \frac{i_1}{i_1 + i_2} L \Rightarrow x = \frac{1}{2} (1 - \frac{i_1 - i_2}{i_1 + i_2}) L$$

- ausgewertet mit Stromsummen und Stromdifferenzsignal
- Auflösungsvermögen etwa 10 µm

### **Photobipolartransistor**





- In Sperrrichtung gepolte Kollektor-Basisdiode wird bestrahlt
- Die optisch generierten Ladungsträger bewirken einen zusätzlichen Sperrstrom
- Potentialbarriere über B-C wird abgesenkt =>Emitterstrom erhöht.

## Verstärkung des Phototransistors



Ersatzschaltbild: Photodiode mit Quellstrom I<sub>CB,ph</sub> parallel zum Kollektor-Basisübergang, über den auch der Dunkelstrom fließt:
 I<sub>CB,s</sub> = Reststrom I<sub>CB,0</sub> bei üblicherweise fehlendem Basisanschluss

$$\begin{split} &I_{C} - (I_{CB,ph} + I_{CB,0}) = B \cdot (I_{CB,ph} + I_{CB,0}) \Longrightarrow \\ &I_{C} \approx (B+1)I_{ph} \\ &U_{CE} = U_{0} - R_{L} \cdot I_{C} \end{split}$$

B – Stromverstärkung in Emitterschaltung

- Da B eine Funktion von I<sub>C</sub> und damit auch eine von I<sub>ph</sub> ist, ist der Phototransistor kein linearer Empfänger.
- Steuergröße ist hier die Beleuchtungsstärke.
- Phototransistor besitzt eine wesentlich größere Stromempfindlichkeit als die Photodiode wegen der Verstärkung B >> 1

17.06.2016

## optoelektronische Empfänger



## Quanten

# Thermisch

äußerer PE

innerer

Nächstes Thema!

moduliert

**PMT** 

**MCP** 

Dioden

Photoleiter

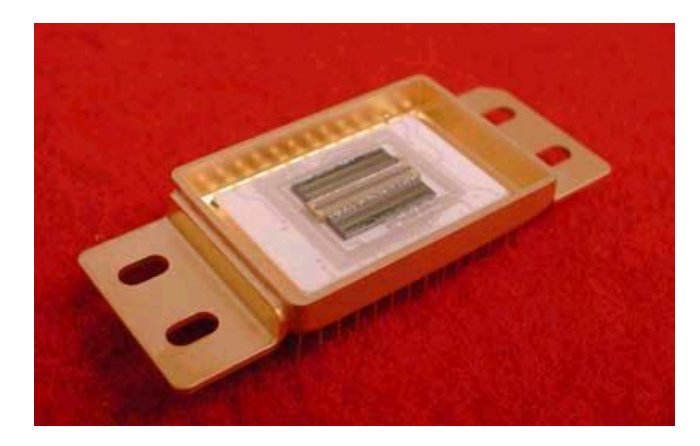
Thermoelektrischer Effekt

Bolometer Effekt Pyroelektrischer Effekt Thermopneumatisher Effekt

#### Photoleiter oder Photowiderstand







PbS-Array mit 256 Elementen

- flacher Halbleiterwiderstand ohne Sperrschicht mit zwei ohmschen Kontakten an den Enden
- Funktion
  - Innerer Photoeffekt
  - Widerstand R erniedrigt sich durch Absorption von Strahlung
  - Eigen-, Störstellen- oder Intraband-Photoleitung
- Ausleseprinzip
  - Stromkreis mit Spannungsquelle & Photowiderstand
  - Erfassung des Signals als Stromänderung

#### **Materialien**



- Intrinsische Photoleiter: CdS, CdSe, PbS, PbSe, InSb, Hg<sub>1-x</sub>Cd<sub>x</sub>Te
- meist polykristallin, Widerstand von Barrieren an Korngrenzen durch Bestrahlung i.d.R. stärker erniedrigt als der vom Volumen

#### CdS

- typisch 100 M $\Omega$  Dunkelwiderstand und 1 k  $\Omega$  Hellwiderstand bei 100 lx
- $G=\approx 10^3-10^4$ .
- τ ≈50 ms
- spektrale Empfindlichkeit maximal bei 600 nm
- u.a. für Belichtungsmessung

#### PhS

- τ ≈100 µs
- rel. hohe Detektivität im NIR Empfindlichkeit
- maximal bei 2,5 µm (300K) bzw. 2,8 µm (77K)
- zum Empfang des 2,7 µm Bandes von H<sub>2</sub>O und CO<sub>2</sub> in heißen Kohlenwasserstoffabgasen

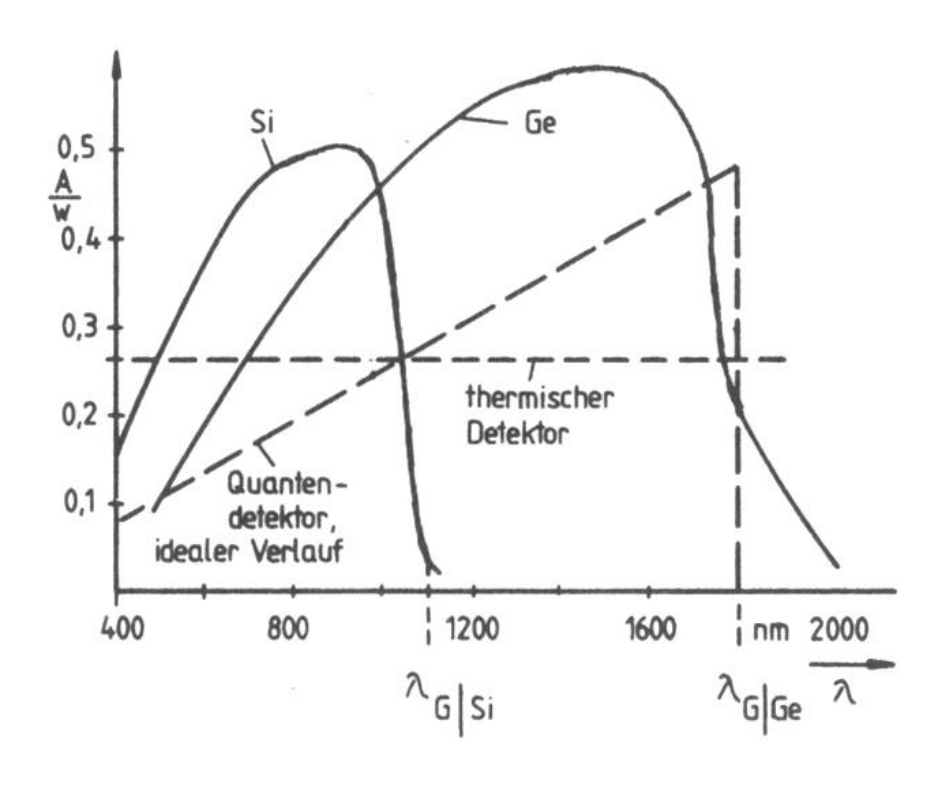
#### **Materialien**



- InSb
  - τ ≈1 µs
  - Empfindlichkeit maximal bei 6,8 µm (300 K) bzw. 5,3 µm (77 K)
- Hg<sub>1-x</sub>Cd<sub>x</sub>Te
  - lückenlos mischbar aus HgTe und CdTe mit Bandabständen < 0,1 eV,</p> schwierig die Einstellung niedriger Gleichgewichtsträgerdichten, muss gekühlt werden
  - τ ≈100 ns
  - Empfindlichkeit maximal im Bereich von 8 20 µm
  - wird fast die BLIP-Grenze erreicht (BLIP background limited infrared photodetector)

## Stromempfindlichkeit von Photoleitern

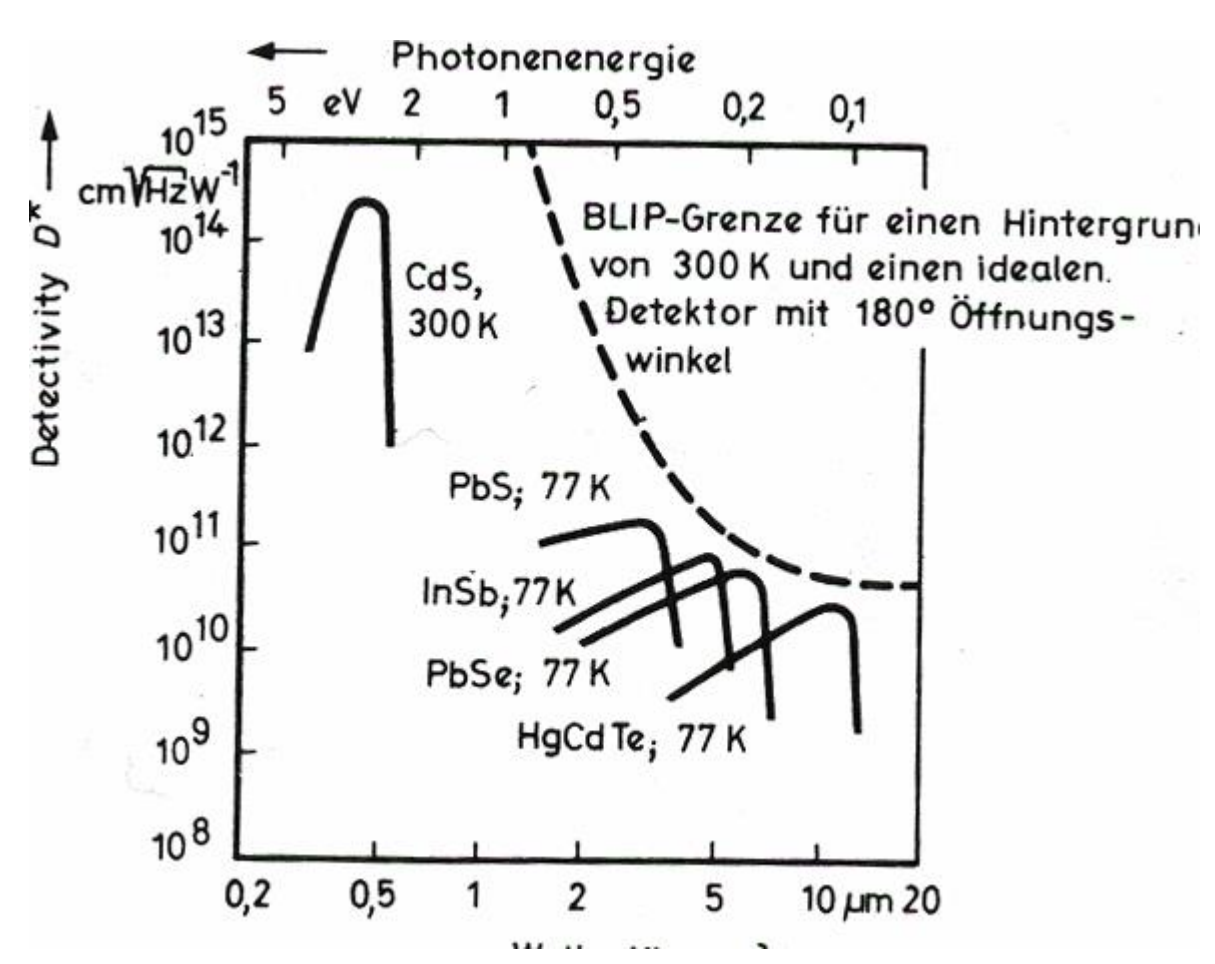




- von Ge und Si, verglichen mit thermischen Empfänger und idealem Quantendetektor ohne innere Verstärkung
- λ<sub>G</sub> Grenzwellenlänge

#### Detektivität intrinsischer Photoleiter





BLIP – background limited infrared photodetector